

# O Impacto da Modelação na Resolução de Problemas de Satisfação Proposicional

Ruben Martins

Instituto Superior Técnico  
Universidade Técnica de Lisboa

Mestrado em Matemática e Aplicações

- ▶ Progresso notável na área de Satisfação Proposicional (SAT);
- ▶ Constante evolução das ferramentas de SAT.

- ▶ Progresso notável na área de Satisfação Proposicional (SAT);
- ▶ Constante evolução das ferramentas de SAT.
- ▶ A modelação tem um elevado impacto na resolução de problemas de SAT.
- ▶ Necessidade de aprofundar a modelação de problemas:
  - ▶ *Social Golfer*, *Round Robin*, *Completção de Quasigroups*, *Torres de Hanói*

- ▶ Conceitos Gerais
- ▶ *Social Golfer*
- ▶ *Round Robin*
- ▶ Completação de *Quasigroups*
- ▶ Torres de Hanói
- ▶ Conclusões e Trabalho Futuro

- ▶ **Conceitos Gerais**
- ▶ *Social Golfer*
- ▶ *Round Robin*
- ▶ Completação de *Quasigroups*
- ▶ Torres de Hanói
- ▶ Conclusões e Trabalho Futuro

# O que é SAT?

## Definição (Problema de Satisfação Booleana (SAT))

O problema de Satisfação Booleana (SAT) consiste em, dada uma fórmula  $\varphi$ , decidir se existe uma atribuição  $\rho$  tal que  $\rho \models \varphi$ .

# O que é SAT?

## Definição (Problema de Satisfação Booleana (SAT))

O problema de Satisfação Booleana (SAT) consiste em, dada uma fórmula  $\varphi$ , decidir se existe uma atribuição  $\rho$  tal que  $\rho \models \varphi$ .

►  $\varphi = (x_1 \vee \neg x_2) \wedge (x_2 \vee x_3) \wedge (\neg x_2 \vee \neg x_3)$

# O que é SAT?

## Definição (Problema de Satisfação Booleana (SAT))

O problema de Satisfação Booleana (SAT) consiste em, dada uma fórmula  $\varphi$ , decidir se existe uma atribuição  $\rho$  tal que  $\rho \models \varphi$ .

- ▶  $\varphi = (x_1 \vee \neg x_2) \wedge (x_2 \vee x_3) \wedge (\neg x_2 \vee \neg x_3)$ 
  - ▶  $\rho(x_1) = 1$
  - ▶  $\rho(x_2) = 1$
  - ▶  $\rho(x_3) = 0$



# Porque é que SAT é importante?

## ▶ Importância Teórica:

- ▶ Primeiro problema a ter sido demonstrado ser  $\mathcal{NP}$ -Completo (Cook'71).

## ▶ Importância Prática:

- ▶ Resolução de problemas de planeamento,
- ▶ Verificação de modelos,
- ▶ Criptografia,
- ▶ Bioinformática,
- ▶ ...

- ▶ **Regra da Cláusula Unitária:**

Dada uma cláusula com apenas um literal livre, temos que este literal terá que tomar o valor 1 para a cláusula ser satisfeita

- ▶  $(x_1 \vee \neg x_2 \vee \neg x_3)$ ,  $x_3$  terá que tomar o valor 0

▶ **Regra da Cláusula Unitária:**

Dada uma cláusula com apenas um literal livre, temos que este literal terá que tomar o valor 1 para a cláusula ser satisfeita

▶  $(x_1 \vee \neg x_2 \vee \neg x_3)$ ,  $x_3$  terá que tomar o valor 0

▶ **Propagação Unitária:**

Aplicação iterativa da Regra da Cláusula Unitária

▶ **Regra da Cláusula Unitária:**

Dada uma cláusula com apenas um literal livre, temos que este literal terá que tomar o valor 1 para a cláusula ser satisfeita

▶  $(x_1 \vee \neg x_2 \vee \neg x_3)$ ,  $x_3$  terá que tomar o valor 0

▶ **Propagação Unitária:**

Aplicação iterativa da Regra da Cláusula Unitária

▶ **Resolução:**

$(x \vee \alpha) \wedge (\neg x \vee \beta) \vdash (\alpha \vee \beta)$

- ▶ Em 1960, M. Davis e H. Putnam propuseram o algoritmo DP:
  - ▶ Uso da resolução para eliminar uma variável de cada vez;
  - ▶ Aplicação da Propagação Unitária.
- ▶ Em 1962, M. Davis, G. Logemann e D. Loveland propuseram um algoritmo alternativo (DPLL):
  - ▶ Invés de eliminar variáveis através da resolução, o algoritmo usa uma árvore binária de procura;
  - ▶ Aplicação da Propagação Unitária.

- ▶ Pesquisa em árvore
- ▶ Em cada passo:
  - ▶ `decidir()` Escolhe a variável a ser atribuída
  - ▶ `deduzir()` Aplica a propagação unitária
  - ▶ `diagnosticar()` Se um conflito for identificado, então retroceder
    - ▶ Se não for possível retroceder, devolver **UNSAT**
    - ▶ Caso contrário, proceder com a propagação unitária
  - ▶ Se uma fórmula for satisfeita, devolver **SAT**
  - ▶ Caso contrário, proceder com outra decisão

- ▶ Conceitos Gerais
- ▶ *Social Golfer*
- ▶ *Round Robin*
- ▶ Completação de *Quasigroups*
- ▶ Torres de Hanói
- ▶ Conclusões e Trabalho Futuro

## Definição (*Social Golfer*)

- ▶ O clube de golfe tem 32 membros;
- ▶ Cada membro joga uma vez por semana;
- ▶ Os membros jogam sempre em grupos 4;
- ▶ Cada dois jogadores jogam no máximo uma vez juntos.



# Social Golfer (Generalização)

## Definição (*Social Golfer* – $\langle w, p, g \rangle$ )

- ▶ O calendário é composto por  $p \times g$  jogadores,  $w$  semanas e  $g$  grupos por semana;
- ▶ Cada jogador joga golfe uma vez por semana;
- ▶ Cada jogador joga em grupos de  $p$  jogadores;
- ▶ Cada par de jogadores jogam no máximo uma vez juntos.

# Social Golfer (Generalização)

## Definição (*Social Golfer* – $\langle w, p, g \rangle$ )

- ▶ O calendário é composto por  $p \times g$  jogadores,  $w$  semanas e  $g$  grupos por semana;
- ▶ Cada jogador joga golfe uma vez por semana;
- ▶ Cada jogador joga em grupos de  $p$  jogadores;
- ▶ Cada par de jogadores jogam no máximo uma vez juntos.

Semana	Grupo 1	Grupo 2
1	[1,2]	[3,4]
2	[1,3]	[2,4]
3	[1,4]	[2,3]

# Simetrias (*Social Golfer*)

Semana	Grupo 1	Grupo 2
1	[1,2]	[3,4]
2	[1,3]	[2,4]
3	[1,4]	[2,3]

- ▶ Os jogadores são permutáveis;
- ▶ Jogadores no mesmo grupo são permutáveis;
- ▶ Grupos na mesma semana são permutáveis;
- ▶ As semanas são permutáveis.

# Gent e Lynce VS. Martins

- ▶ Ambas as codificações usam restrições adicionais para quebrar simetrias.
- ▶ **Gent e Lynce:**  
As variáveis descrevem a posição em que cada jogador joga.
- ▶ **Martins:**  
As variáveis descrevem a semana em que cada grupo de jogadores joga.

# Resultados Experimentais

- ▶ Comparação entre as diferentes codificações usando o MiniSat.

Instância	Gent & Lynce			Martins		
	#vars	#cls	tempo (s)	#vars	#cls	tempo (s)
< 15, 2, 8 >	12,103	78,547	1.19	1,800	38,040	0.1
< 17, 2, 9 >	31,671	219,267	333.2	2,601	62,730	0.2
< 19, 2, 10 >	47,500	336,700	293.38	3,610	97,850	0.5
< 21, 2, 11 >	68,607	495,979	3.46	4,851	145,992	1
< 23, 2, 12 >	96,048	706,032	97.18	6,348	210,036	1.57
< 25, 2, 13 >	130,975	976,651	138.45	8,125	293,150	14.39
< 27, 2, 14 >	174,636	1,318,492	597.43	10,206	398,790	6.85
< 29, 2, 15 >	228,375	1,743,075	946.56	12,615	530,700	9.81

# Resultados Experimentais

- ▶ Comparação entre as diferentes codificações usando o MiniSat.

Instância	Gent & Lynce			Martins		
	#vars	#cls	tempo (s)	#vars	#cls	tempo (s)
< 15, 2, 8 >	12,103	78,547	1.19	1,800	38,040	0.1
< 17, 2, 9 >	31,671	219,267	333.2	2,601	62,730	0.2
< 19, 2, 10 >	47,500	336,700	293.38	3,610	97,850	0.5
< 21, 2, 11 >	68,607	495,979	3.46	4,851	145,992	1
< 23, 2, 12 >	96,048	706,032	97.18	6,348	210,036	1.57
< 25, 2, 13 >	130,975	976,651	138.45	8,125	293,150	14.39
< 27, 2, 14 >	174,636	1,318,492	597.43	10,206	398,790	6.85
< 29, 2, 15 >	228,375	1,743,075	946.56	12,615	530,700	9.81

- ▶ *Kirkman's Schoolgirl*:

	Gent & Lynce			Martins		
	#vars	#cls	tempo (s)	#vars	#cls	tempo (s)
< 7, 3, 5 >	5,775	42,555	226.12	3,185	726,285	12

- ▶ Conceitos Gerais
- ▶ *Social Golfer*
- ▶ *Round Robin*
- ▶ Completação de *Quasigroups*
- ▶ Torres de Hanói
- ▶ Conclusões e Trabalho Futuro

## Definição (*Round Robin*)

- ▶ Existem  $n$  (com  $n$  par) equipas e cada par de equipas joga entre si exactamente uma vez;
- ▶ A temporada dura  $n-1$  semanas;
- ▶ Cada equipa joga um jogo em cada semana;
- ▶ Existem  $\frac{n}{2}$  campos e em cada semana existe um jogo nesse campo;
- ▶ Nenhuma equipa joga mais do que duas vezes no mesmo campo durante o decorrer da temporada.



## Definição (*Round Robin*)

- ▶ Existem  $n$  (com  $n$  par) equipas e cada par de equipas joga entre si exactamente uma vez;
- ▶ A temporada dura  $n-1$  semanas;
- ▶ Cada equipa joga um jogo em cada semana;
- ▶ Existem  $\frac{n}{2}$  campos e em cada semana existe um jogo nesse campo;
- ▶ Nenhuma equipa joga mais do que duas vezes no mesmo campo durante o decorrer da temporada.

	Sem 1	Sem 2	Sem 3	Sem 4	Sem 5
Campo 1	1 2	2 3	1 5	4 6	3 5
Campo 2	3 4	1 6	3 6	2 5	1 4
Campo 3	5 6	4 5	2 4	1 3	2 6

## Simetrias (*Round Robin*)

	Sem 1	Sem 2	Sem 3	Sem 4	Sem 5
Campo 1	1 2	2 3	1 5	4 6	3 5
Campo 2	3 4	1 6	3 6	2 5	1 4
Campo 3	5 6	4 5	2 4	1 3	2 6

- ▶ Os jogadores são permutáveis;
- ▶ Jogadores no mesmo jogo são permutáveis;
- ▶ As semanas são permutáveis;
- ▶ Os campos são permutáveis.

	Sem 1	Sem 2	Sem 3	Sem 4	Sem 5
Campo 1	1 2	2 3	1 5	4 6	3 5
Campo 2	3 4	1 6	3 6	2 5	1 4
Campo 3	5 6	4 5	2 4	1 3	2 6

- ▶ As variáveis dividem-se em dois conjuntos:
  - ▶  $p_{ij}^{1k}$ : descreve o jogador que joga na primeira posição de cada jogo;
  - ▶  $p_{ij}^{2k}$ : descreve o jogador que joga na segunda posição de cada jogo.

- ▶ Quebra das simetrias entre os campos:

	Sem 1	Sem 2	Sem 3	Sem 4	Sem 5
Campo 1	1 2	2 3	1 5	4 6	3 5
Campo 2	3 4	1 6	3 6	2 5	1 4
Campo 3	5 6	4 5	2 4	1 3	2 6

# Manya e Béjar + < simetrias >

- ▶ Quebra das simetrias entre os campos:

	Sem 1	Sem 2	Sem 3	Sem 4	Sem 5
Campo 1	1 2	2 3	1 5	4 6	3 5
Campo 2	3 4	1 6	3 6	2 5	1 4
Campo 3	5 6	4 5	2 4	1 3	2 6

- ▶ Quebra das simetrias entre as semanas:

	Sem 1	Sem 2	Sem 3	Sem 4	Sem 5
Campo 1	1 2	4 5	3 6	2 3	1 6
Campo 2	3 4	2 6	1 4	1 5	3 5
Campo 3	5 6	1 3	2 5	4 6	2 4

► Coluna *Dummy*:

	Sem 1	Sem 2	Sem 3	Sem 4	Sem 5	Dummy
Campo 1	1 2	4 5	3 6	2 3	1 6	4 5
Campo 2	3 4	2 6	1 4	1 5	3 5	2 6
Campo 3	5 6	1 3	2 5	4 6	2 4	1 3

	Sem 1	Sem 2	Sem 3	Sem 4	Sem 5
Campo 1	1 2	2 3	1 5	4 6	3 5
Campo 2	3 4	1 6	3 6	2 5	1 4
Campo 3	5 6	4 5	2 4	1 3	2 6

- ▶ As variáveis dividem-se em dois conjuntos:
  - ▶  $CAMPO_k(X)$ : descreve o campo onde o grupo de jogadores  $X$  joga;
  - ▶  $SEM_j(X)$ : descreve a semana onde o grupo de jogadores  $X$  joga.

	Sem 1	Sem 2	Sem 3	Sem 4	Sem 5
Campo 1	1 2	2 3	1 5	4 6	3 5
Campo 2	3 4	1 6	3 6	2 5	1 4
Campo 3	5 6	4 5	2 4	1 3	2 6

- ▶ As variáveis dividem-se em dois conjuntos:
  - ▶  $CAMPO_k(X)$ : descreve o campo onde o grupo de jogadores  $X$  joga;
  - ▶  $SEM_j(X)$ : descreve a semana onde o grupo de jogadores  $X$  joga.
- ▶ Se  $X_1$  e  $X_2$  jogarem na mesma semana  $\Rightarrow X_1$  e  $X_2$  jogam em campos diferentes;
- ▶ Se  $X_1$  e  $X_2$  jogarem no mesmo campo  $\Rightarrow X_1$  e  $X_2$  jogam em semanas diferentes.



# Resultados Experimentais

- ▶ Codificação  $\langle all \rangle = \{ \langle simetrias \rangle \cup \langle dummy \rangle \}$ ;
- ▶ Comparação entre as diferentes codificações usando o Minisat com um tempo limite de 6000 segundos.

$n$	Manyà & Béjar	$\langle simetrias \rangle$	$\langle dummy \rangle$	$\langle all \rangle$	Martins
10	4.53	1.1	2.8	0.76	0.22
12	25.43	4.55	92	5	8.87
14	-	660.31	-	4493.65	4.4
16	-	-	-	-	-

- ▶ Conceitos Gerais
- ▶ *Social Golfer*
- ▶ *Round Robin*
- ▶ **Completção de *Quasigroups***
- ▶ Torres de Hanói
- ▶ Conclusões e Trabalho Futuro

# Problema da Completação de *Quasigroups*

							1	
4								
	2							
				5		4		7
		8						
		1		9				
3			4					
	5		1					
			8		6			

## Definição (Quasigroup)

Um **quasigroup** é um par ordenado  $(Q, \cdot)$ , onde  $Q$  é um conjunto e  $\cdot$  é uma operação binária em  $Q$ , tal que, para cada  $a$  e  $b$  em  $Q$ , existem elementos únicos  $x$  e  $y$  em  $Q$  tal que:  $a \cdot x = b$  e  $y \cdot a = b$ . A **ordem**  $n$  de um quasigroup é a cardinalidade do conjunto  $Q$ .

# Problema da Completação de *Quasigroups*

6	9	3	7	8	4	5	1	2
4	8	7	5	1	2	9	3	6
1	2	5	9	6	3	8	7	4
9	3	2	6	5	1	4	8	7
5	6	8	2	4	7	3	9	1
7	4	1	3	9	8	6	2	5
3	1	9	4	7	5	2	6	8
8	5	6	1	2	9	7	4	3
2	7	4	8	3	6	1	5	9

## Definição (Quasigroup)

Um **quasigroup** é um par ordenado  $(Q, \cdot)$ , onde  $Q$  é um conjunto e  $\cdot$  é uma operação binária em  $Q$ , tal que, para cada  $a$  e  $b$  em  $Q$ , existem elementos únicos  $x$  e  $y$  em  $Q$  tal que:  $a \cdot x = b$  e  $y \cdot a = b$ . A **ordem**  $n$  de um quasigroup é a cardinalidade do conjunto  $Q$ .

							1	
4								
	2							
				5		4		7
		8						
		1		9				
3			4					
	5		1					
			8		6			

► Variáveis:

- $n$  variáveis Booleanas em cada célula,
- A variável  $q_{xyz}$  é verdadeira se e só se o número  $z$  for atribuído à célula na linha  $x$ , coluna  $y$ .

# Quebra de Simetrias em QCPs

6	9	3	7	8	4	5	1	2
4	8	7	5	1	2	9	3	6
1	2	5	9	6	3	8	7	4
9	3	2	6	5	1	4	8	7
5	6	8	2	4	7	3	9	1
7	4	1	3	9	8	6	2	5
3	1	9	4	7	5	2	6	8
8	5	6	1	2	9	7	4	3
2	7	4	8	3	6	1	5	9

## Simetria Local – $Isym_{22}$ (2 linhas; 2 colunas)

6	9	3	7	8	4	5	1	2
4	8	7	5	1	2	9	3	6
1	2	5	9	6	3	8	7	4
9	3	2	6	5	1	4	8	7
5	6	8	2	4	7	3	9	1
7	4	1	3	9	8	6	2	5
3	1	9	4	7	5	2	6	8
8	5	6	1	2	9	7	4	3
2	7	4	8	3	6	1	5	9

## Simetria Local – $Isym_{22}$ (2 linhas; 2 colunas)

6	9	3	7	8	4	5	1	2
4	8	7	5	1	2	9	3	6
1	2	5	9	6	3	8	7	4
9	3	2	6	5	1	4	8	7
5	6	8	2	4	7	3	9	1
7	4	1	3	9	8	6	2	5
3	1	9	4	2	5	7	6	8
8	5	6	1	7	9	2	4	3
2	7	4	8	3	6	1	5	9



## Simetria Local – $Isym_{23}$ (2 linhas; 3 colunas)

6	9	3	7	8	4	5	1	2
4	8	7	5	1	2	9	3	6
1	2	5	9	6	3	8	7	4
9	3	2	6	5	1	4	8	7
5	6	8	2	4	7	3	9	1
7	4	1	3	9	8	6	2	5
3	1	9	4	7	5	2	6	8
8	5	6	1	2	9	7	4	3
2	7	4	8	3	6	1	5	9

## Simetria Local – $Isym_{23}$ (2 linhas; 3 colunas)

6	9	3	7	8	4	5	1	2
4	8	7	5	1	2	9	3	6
1	2	5	9	6	3	8	7	4
9	4	2	3	5	1	6	8	7
5	6	8	2	4	7	3	9	1
7	3	1	6	9	8	4	2	5
3	1	9	4	7	5	2	6	8
8	5	6	1	2	9	7	4	3
2	7	4	8	3	6	1	5	9

# Simetria Local – $Isym_{32}$ (3 linhas; 2 colunas)

6	9	3	7	8	4	5	1	2
4	8	7	5	1	2	9	3	6
1	2	5	9	6	3	8	7	4
9	3	2	6	5	1	4	8	7
5	6	8	2	4	7	3	9	1
7	4	1	3	9	8	6	2	5
3	1	9	4	7	5	2	6	8
8	5	6	1	2	9	7	4	3
2	7	4	8	3	6	1	5	9

# Simetria Local – $Isym_{32}$ (3 linhas; 2 colunas)

6	9	3	7	8	4	5	1	2
4	8	7	5	1	2	9	3	6
1	2	5	9	6	3	7	8	4
9	3	2	6	5	1	8	4	7
5	6	8	2	4	7	3	9	1
7	4	1	3	9	8	6	2	5
3	1	9	4	7	5	2	6	8
8	5	6	1	2	9	4	7	3
2	7	4	8	3	6	1	5	9

►  $Q[i_1, j_1] < Q[i_2, j_1]$

		$j_1$	$j_2$	
$i_1$		a	b	
$i_2$		b	a	

- $Q[i_1, j_1] < Q[i_2, j_1]$

	$j_1$	$j_2$		
$i_1$				
$i_2$				

- Impomos uma ordem lexicográfica no subconjunto de  $j_1$ :
1.  $\forall b > a \neg (q_{i_1 j_1 b} \wedge q_{i_1 j_2 a} \wedge q_{i_2 j_1 a} \wedge q_{i_2 j_2 b})$
  2.  $\forall a > b \neg (q_{i_1 j_1 a} \wedge q_{i_1 j_2 b} \wedge q_{i_2 j_1 b} \wedge q_{i_2 j_2 a})$

- ▶  $Q[i_1, j_1] < Q[i_2, j_1]$

	$j_1$	$j_2$	
$i_1$			
	b	a	
$i_2$			

- ▶ Impomos uma ordem lexicográfica no subconjunto de  $j_1$ :

1.  $\forall_{b>a} \neg(q_{i_1 j_1 b} \wedge q_{i_1 j_2 a} \wedge q_{i_2 j_1 a} \wedge q_{i_2 j_2 b})$
2.  $\forall_{a>b} \neg(q_{i_1 j_1 a} \wedge q_{i_1 j_2 b} \wedge q_{i_2 j_1 b} \wedge q_{i_2 j_2 a})$

►  $Q[i_1, j_1] < Q[i_2, j_1]$

	$j_1$	$j_2$	
$i_1$	a	b	
$i_2$	b	a	

► Impomos uma ordem lexicográfica no subconjunto de  $j_1$ :

1.  $\forall_{b>a} \neg(q_{i_1j_1b} \wedge q_{i_1j_2a} \wedge q_{i_2j_1a} \wedge q_{i_2j_2b})$

2.  $\forall_{a>b} \neg(q_{i_1j_1a} \wedge q_{i_1j_2b} \wedge q_{i_2j_1b} \wedge q_{i_2j_2a})$



# Outras Simetrias Locais

	$j_1$	$j_2$	$j_3$	$j_4$
$i_1$		b		a
$i_2$	a			b
$i_3$	b		a	
$i_4$		a	b	

# Outras Simetrias Locais

	$j_1$	$j_2$	$j_3$	$j_4$
$i_1$		a		b
$i_2$	b			a
$i_3$	a		b	
$i_4$		b	a	

# Resultados Experimentais (Instâncias com Solução)

- ▶ Redução (em percentagem) do número de soluções

$lsym_{22}$	$lsym_{23}$	$lsym_{32}$	$lsym_{all}$
77.191	8.910	10.934	81.668

# Resultados Experimentais (Instâncias com Solução)

- ▶ Redução (em percentagem) do número de soluções

$lsym_{22}$	$lsym_{23}$	$lsym_{32}$	$lsym_{all}$
77.191	8.910	10.934	81.668

- ▶ Comparação entre as diferentes codificações usando o Satz com um tempo limite de 6000 segundos.

Ordem	w/o $lsym$		$lsym_{22}$		$lsym_{32}$		$lsym_{23}$	
35	100	0.66	100	0.64	100	0.825	100	0.635
37	100	3.44	100	3.37	100	3.495	100	4.015
40	100	18.76	100	18.63	100	26.645	100	19.92
43	90	120.66	91	134.41	90	156.11	89	170.655
45	68	665.22	69	633.55	68	802.835	70	740.22

## ▶ Satz

O algoritmo de decisão implementado no Satz escolhe a variável que quando atribuída irá implicar um maior número de atribuições através de propagação unitária.

# Resultados Experimentais (blindSatz)

## ▶ Satz

O algoritmo de decisão implementado no Satz escolhe a variável que quando atribuída irá implicar um maior número de atribuições através de propagação unitária.

## ▶ blindSatz

Escolhemos a *primeira variável livre* para ramificar. Isto faz com que este algoritmo escolha as variáveis numa ordem fixa.

# Resultados Experimentais (Instâncias com Solução)

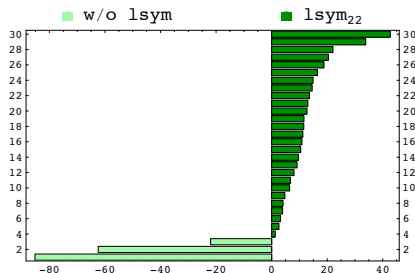
- ▶ Comparação entre as diferentes codificações usando o blindSatz com um tempo limite de 1000 segundos.

<i>w/o lsym</i>	<i>lsym<sub>22</sub></i>	<i>lsym<sub>32</sub></i>	<i>lsym<sub>23</sub></i>	<i>lsym<sub>all</sub></i>
88.97	81.57	88.87	88.97	81.095

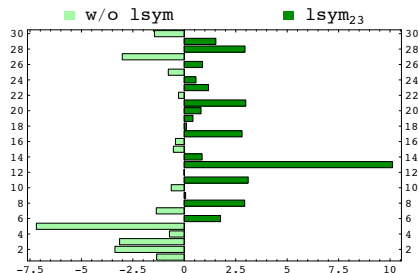
# Resultados Experimentais (Instâncias com Solução)

- ▶ Comparação entre as diferentes codificações usando o blindSatz com um tempo limite de 1000 segundos.

<i>w/o lsym</i>	<i>lsym<sub>22</sub></i>	<i>lsym<sub>32</sub></i>	<i>lsym<sub>23</sub></i>	<i>lsym<sub>all</sub></i>
88.97	81.57	88.87	88.97	81.095



27 Instâncias (1.32;12.57;42.74)%



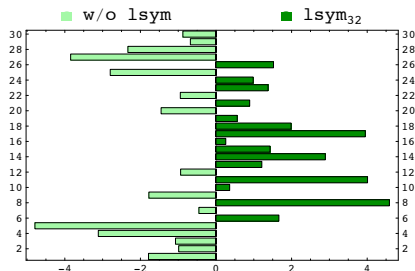
16 Instâncias (0.06;2.07;10.12)%



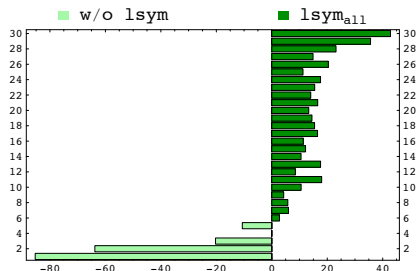
# Resultados Experimentais (Instâncias com Solução)

- ▶ Comparação entre as diferentes codificações usando o blindSatz com um tempo limite de 1000 segundos.

<i>w/o lsym</i>	<i>lsym<sub>22</sub></i>	<i>lsym<sub>32</sub></i>	<i>lsym<sub>23</sub></i>	<i>lsym<sub>all</sub></i>
88.97	81.57	88.87	88.97	81.095



15 Instâncias (0.26;1.85;4.59)%



25 Instâncias (2.76;15.17;42.81)%

# Resultados Experimentais (Instâncias sem Solução)

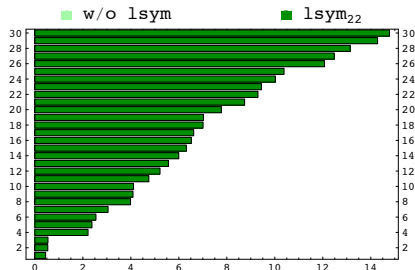
- ▶ Comparação entre as diferentes codificações usando o blindSatz com um tempo limite de 1000 segundos.

<i>w/o lsym</i>	<i>lsym<sub>22</sub></i>	<i>lsym<sub>32</sub></i>	<i>lsym<sub>23</sub></i>	<i>lsym<sub>all</sub></i>
376.075	360.655	378.52	377.955	358.47

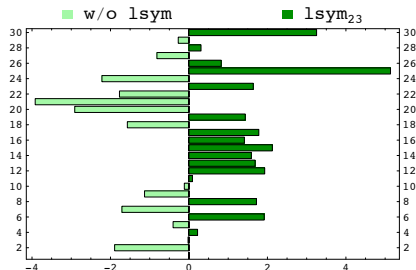
# Resultados Experimentais (Instâncias sem Solução)

- ▶ Comparação entre as diferentes codificações usando o blindSatz com um tempo limite de 1000 segundos.

<i>w/o lsym</i>	<i>lsym<sub>22</sub></i>	<i>lsym<sub>32</sub></i>	<i>lsym<sub>23</sub></i>	<i>lsym<sub>all</sub></i>
376.075	360.655	378.52	377.955	358.47



30 Instâncias (0.45;6.71;14.78)%

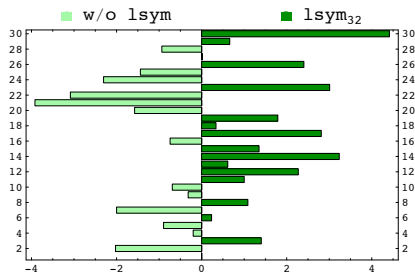


16 Instâncias (0.09;1.69;5.14)%

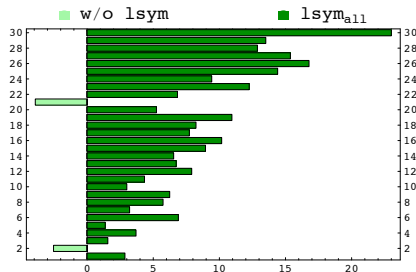
# Resultados Experimentais (Instâncias sem Solução)

- ▶ Comparação entre as diferentes codificações usando o blindSatz com um tempo limite de 1000 segundos.

<i>w/o lsym</i>	<i>lsym<sub>22</sub></i>	<i>lsym<sub>32</sub></i>	<i>lsym<sub>23</sub></i>	<i>lsym<sub>all</sub></i>
376.075	360.655	378.52	377.955	358.47



16 Instâncias (0.02;1.67;4.41)%

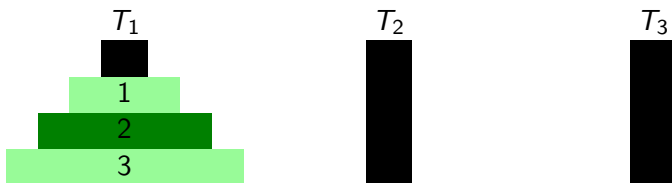


28 Instâncias (1.37;8.42;23)%

- ▶ Conceitos Gerais
- ▶ *Social Golfer*
- ▶ *Round Robin*
- ▶ Completação de *Quasigroups*
- ▶ **Torres de Hanói**
- ▶ Conclusões e Trabalho Futuro

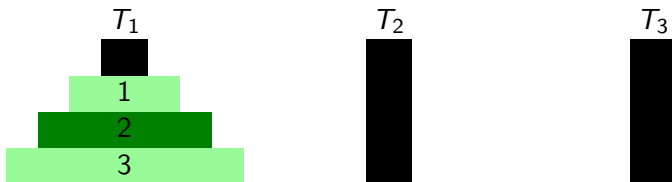
## Definição (Torres de Hanói)

- ▶ 3 torres;
- ▶  $n$  anéis de diferentes tamanhos;
- ▶ Situação Inicial: anéis empilhados em ordem crescente de tamanho na primeira torre;
- ▶ Objectivo: anéis empilhados em ordem crescente de tamanho na terceira torre.



## Regras (Torres de Hanói)

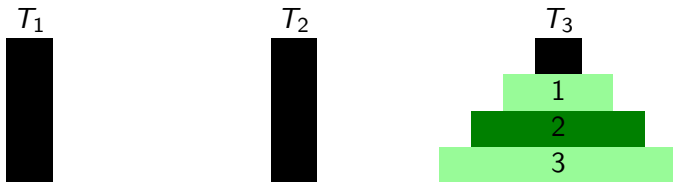
- ▶ Apenas um disco pode ser movido de cada vez;
- ▶ Cada movimento consiste em tirar o disco que se encontra no topo de uma das Torres e colocá-lo noutra Torre, no topo de outros discos que possam já estar presentes nessa Torre;
- ▶ Nenhum disco pode ser colocado em cima de um disco mais pequeno.



# Torres de Hanói

## Regras (Torres de Hanói)

- ▶ Apenas um disco pode ser movido de cada vez;
- ▶ Cada movimento consiste em tirar o disco que se encontra no topo de uma das Torres e colocá-lo noutra Torre, no topo de outros discos que possam já estar presentes nessa Torre;
- ▶ Nenhum disco pode ser colocado em cima de um disco mais pequeno.



Existe sempre uma solução com  $2^n - 1$  passos



- ▶ Têm por base a linguagem STRIPS.
- ▶ **Selman e Kautz:** A codificação descreve o movimento de um disco para cima de outro disco ou de uma torre.
  - ▶  $move(d, dt, i) \equiv (obj(d, i) \wedge origem(dt, i) \wedge dest(dt, i))$
  - ▶  $on(d, dt, i); clear(dt, i)$
- ▶ **Prestwich:** A codificação descreve o movimento de um disco para cima de uma torre.
  - ▶  $move(d, t, i) \equiv (obj(d, i) \wedge origem(t, i) \wedge dest(t, i))$
  - ▶  $on(d, t, i)$

# Torres de Hanói em SAT (Martins)

## Propriedades:

- ▶ **[seq]**: A sequência dos discos a serem movidos é dada por:  
 $S_1 = \{1\}; S_n = \{S_{n-1}, n, S_{n-1}\}$
- ▶ **[pp1]**: Dada um problema de Torres de Hanói com  $n$  discos, podemos obter a solução determinando apenas os primeiros  $2^{n-1} - 1$  passos.
- ▶ **[pp2]**: Discos da mesma paridade nunca podem estar em directo contacto.
- ▶ **[pp3]**: Existe no máximo um disco par no topo das três torres.
- ▶ **[pp4]**: Se considerarmos um disco extra por torre, com a respectiva numeração de  $n + 1$ ,  $n + 2$  e  $n + 3$ , podemos garantir que existe exactamente um disco par no topo das três torres.

# Resultados Experimentais

- ▶ Comparação entre as diferentes codificações usando o PicoSAT com um tempo limite de 10000 segundos.

n	Selman	Prestwich	[seq]	[pp1]	[pp2]	[pp3]	[pp4]
4	0.16	0.01	0.01	0.01	0.01	0.02	0.02
5	8.31	0.14	0.01	0.01	0.08	0.10	0.15
6	54.70	1.07	0.05	0.13	1.10	1.94	1.36
7	5252.27	10.97	0.32	0.99	14.38	19.44	12.15
8	-	332.32	1.44	16.08	154.45	187.28	220.30
9	-	-	3.47	391.12	2616.45	-	3003.58
10	-	-	71.66	-	-	-	-
11	-	-	1345.33	-	-	-	-
12	-	-	6950.09	-	-	-	-

- ▶  $\{[seq],[pp1]\}$  permite resolver o problema sem procura:

n	# vars	#claus	$\{[seq],[pp1]\}$
4	166	1,106	0.01
5	405	3,140	0.02
6	948	8,319	0.07
7	2,163	21,091	0.15
8	4,850	51,872	0.39
9	10,737	124,758	0.85
10	23,536	294,917	2.32
11	51,183	687,533	5.04
12	110,574	1,584,462	12.37

# Codificação Simplificada

- ▶ Aproveitamos a propriedade [seq] para usarmos como variáveis apenas as variáveis  $on(d, t, i)$ ;
- ▶ Utilizamos as propriedades [pp1] e [pp2].

# Codificação Simplificada

- ▶ Aproveitamos a propriedade [seq] para usarmos como variáveis apenas as variáveis  $on(d, t, i)$ ;
- ▶ Utilizamos as propriedades [pp1] e [pp2].

$n$	Codificação	#vars	#claus
4	<seq,pp1>	166	1,106
	<simp>	84	232
5	<seq,pp1>	405	3,140
	<simp>	225	711
6	<seq,pp1>	948	8,319
	<simp>	558	1,902
7	<seq,pp1>	2,163	21,091
	<simp>	1,323	4,911
8	<seq,pp1>	4,850	51,872
	<simp>	3,048	11,984

$n$	Codificação	#vars	#claus
9	<seq,pp1>	10,737	124,758
	<simp>	6,885	28,971
10	<seq,pp1>	23,536	294,917
	<simp>	15,330	67,846
11	<seq,pp1>	51,183	687,533
	<simp>	33,759	158,427
12	<seq,pp1>	110,574	1,584,462
	<simp>	73,692	362,160

- ▶ Conceitos Gerais
- ▶ *Social Golfer*
- ▶ *Round Robin*
- ▶ Completação de *Quasigroups*
- ▶ Torres de Hanói
- ▶ Conclusões e Trabalho Futuro

- ▶ Modelação deve ser adequada a cada problema;
- ▶ Elevado impacto da modelação na resolução de problemas de SAT:
  - ▶ Torres de Hanói, reduzimos um problema inicialmente difícil a um problema que pode ser resolvido sem procura.
- ▶ Exploração de novas técnicas de modelação:
  - ▶ Identificação e quebra eficiente de Simetrias Locais.